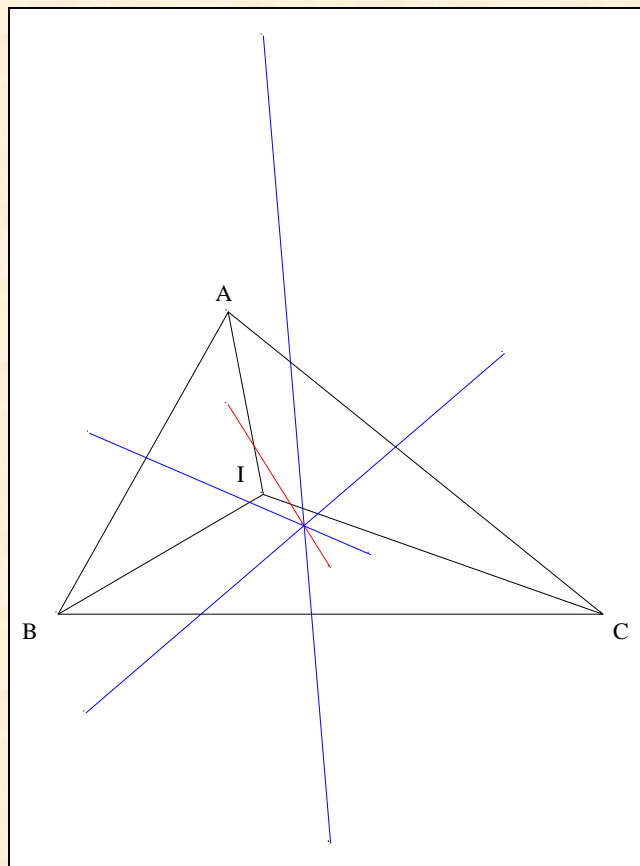


**LE POINT DE SCHIFFLER**  
**ET**  
**LE RÉSULTAT DE LEV ET TATIANA EMELYANOV**

**A NEW AND SIMPLE SYNTHETIC PROOF**

†

Jean - Louis AYME <sup>1</sup>



**Résumé.**

L'article présente un centre remarquable, le point de Schiffler ainsi que les deux résultats de Lev et Tatiana Emelyanov par une nouvelle approche à la fois simple et élémentaire.

Les figures sont toutes en position générale et tous les théorèmes cités peuvent tous être démontrés synthétiquement.

**Abstract.**

The paper presents a remarkable center, the Schiffler's point and the result of Lev and Tatiana Emelyanov by a new approach to both simple and elementary.

The figures are all in general position and all cited theorems can all be demonstrated synthetically

---

<sup>1</sup> St-Denis, île de la Réunion (France), le 01/08/2011.

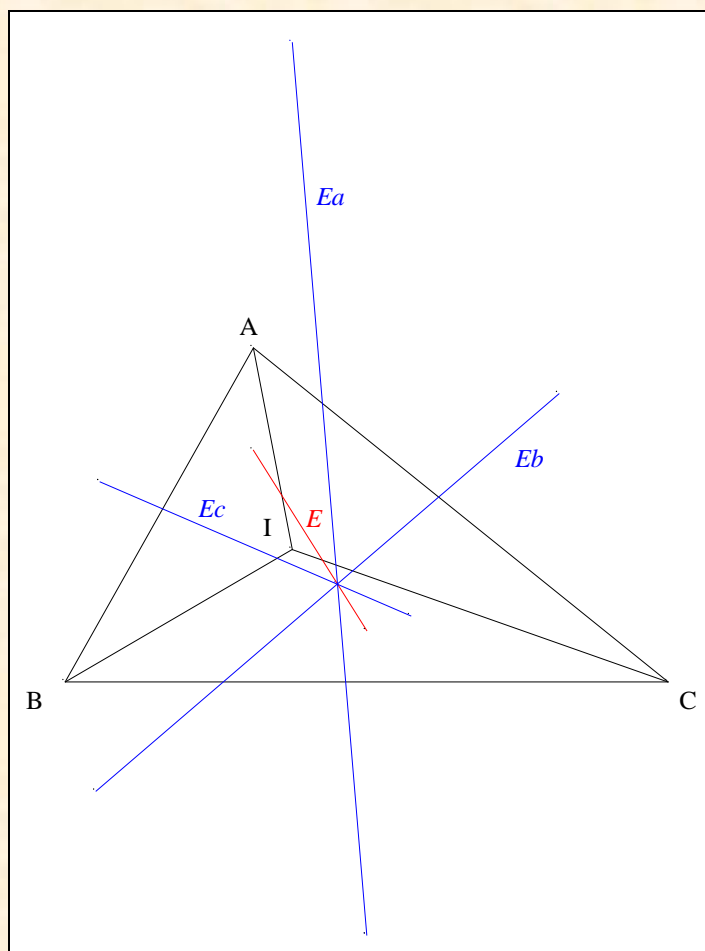
Sommaire	
<b>A. Le problème 1018 de <i>Crux mathematicorum</i></b>	3
1. Le problème	
2. A propos du nom de ce point	
3. Une courte biographie de Kurt Schiffler	
<b>B. Le résultat de Lev et Tatiana Emelyanov</b>	9
1. Deux perpendiculaires	
2. Deux hauteurs égales	
3. Trois points alignés	
4. Les théorèmes 1 et 2 de Lev et Tatiana Emelyanov	
5. L'orthocentre du triangle de contact et le point de Kosnitza	
<b>C. Appendice</b>	26
1. Droites antiparallèles	
2. La relation "est antiparallèle à"	
3. Conséquences	
<b>D. Annexe</b>	27
1. Rayon du cercle inscrit	
2. Une médiane	
3. Deux triangles parallélogiques	
4. Le petit théorème de Pappus	
5. Le théorème faible de Desargues	
<b>E. Archive</b>	30
1. Le problème de Kurt Schiffler	
2. La solution de G. R. Veldkamp et de W. A. van der Spek	

**A. LE PROBLEME 1018**  
**DE**  
**CRUX MATHEMATICORUM**

**1. Le problème**

**VISION**

**Figure :**

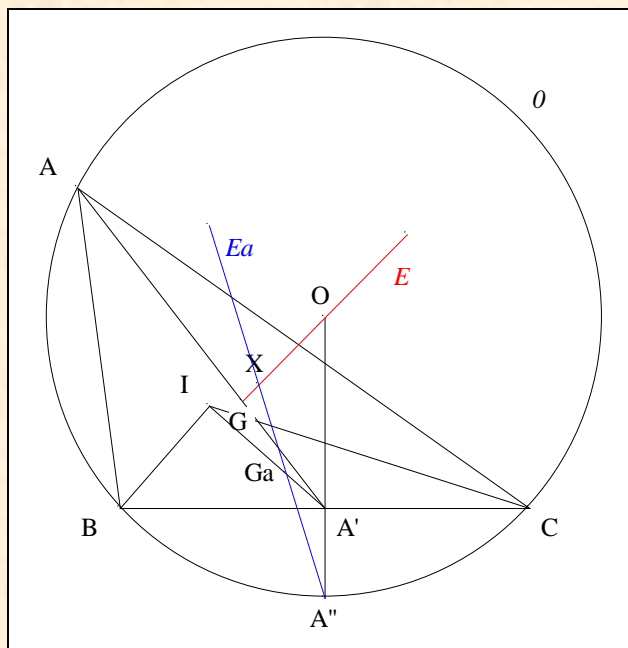


**Traits :** ABC un triangle,  
 I le centre de ABC,  
 et  $E, E_a, E_b, E_c$  les droites d'Euler des triangles ABC, IBC, ICA et IAB.

**Donné :**  $E, E_a, E_b$  et  $E_c$  sont concourantes. <sup>2</sup>

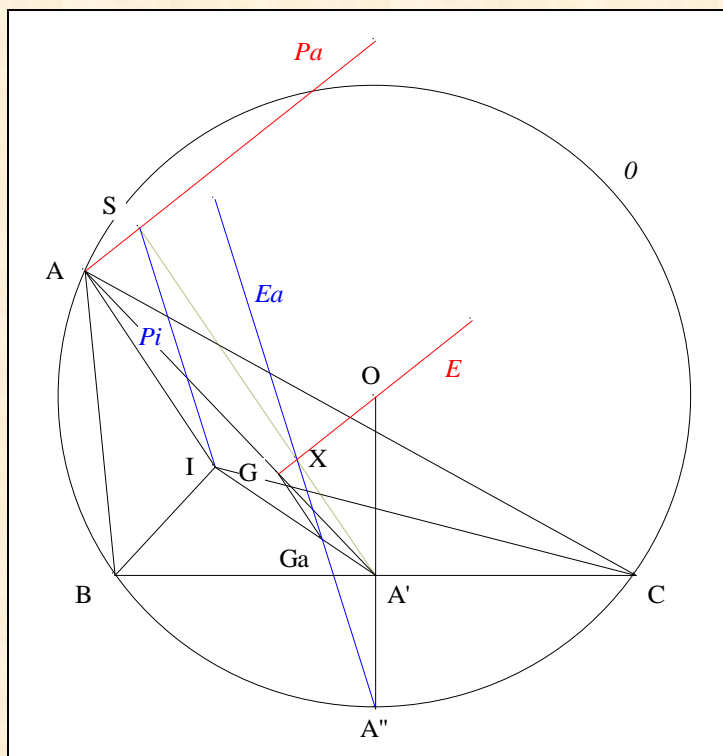
**VISUALISATION <sup>3</sup>**

<sup>2</sup> Schiffler K., Problème **1018**, *Crux Mathematicorum* vol. **11**, **2** (février 1985) 51.  
<sup>3</sup> de l'auteur.



- Notons
  - $A'$  le milieu du côté  $[BC]$ ,
  - $O$  le cercle circonscrit à  $ABC$ ,
  - $O$  le centre de  $O$ ,
  - $G$  le point médian de  $ABC$ ,
  - $A''$  le second A-perpoint de  $ABC$ ,
  - $Ga$  le point médian de  $IBC$
- et
  - $X$  le point d'intersection de  $E$  et  $Ea$ .

- **Scolies :**
  - (1) d'après "La droite d'Euler" <sup>4</sup>,  $E = (OG)$
  - (2)  $A''$  est le centre du cercle circonscrit à  $IBC$  ;  
en conséquence,  $Ea = (A''Ga)$ .

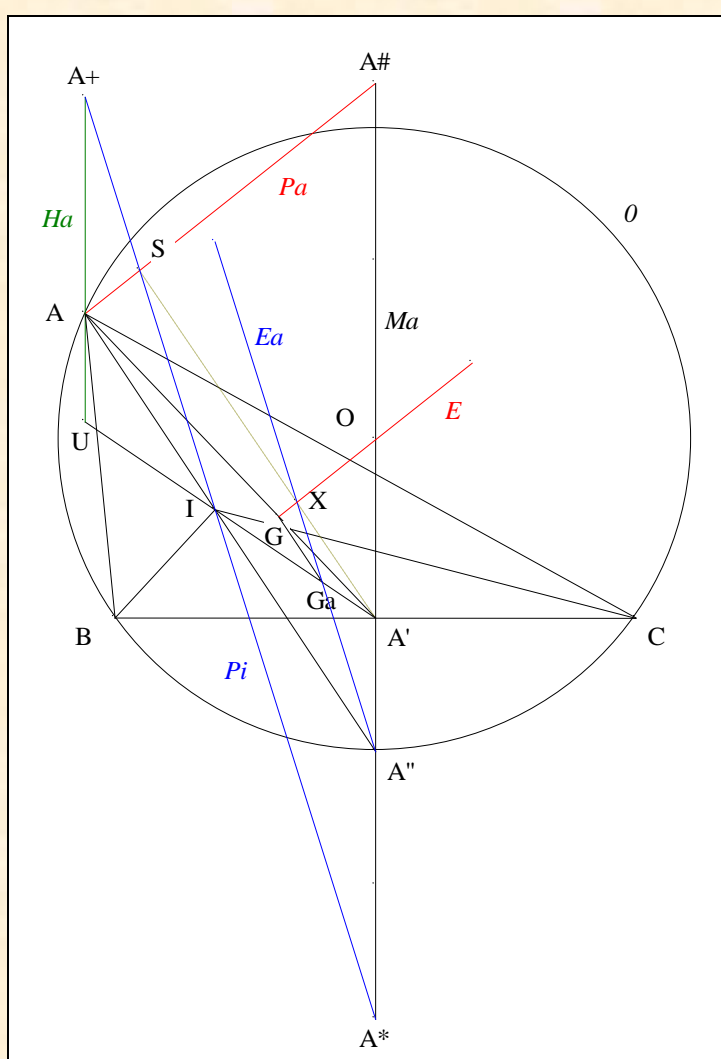


4

Ayme J.-L., La fascinante figure de Cundy, G.G.G. vol. 2 p. 3-4 ; <http://perso.orange.fr/jl.ayme>

- Notons  $Pa$  la parallèle à  $E$  passant par  $A$ ,  
 $Pi$  la parallèle à  $Ea$  passant par  $I$   
 et  $S$  le point d'intersection  $Pi$  et  $Pa$ .
  - **Scolies :** (1)  $G$  est le deuxième tiers-point de  $[AA']$  à partir de  $A$   
 (2)  $Ga$  est le deuxième tiers-point de  $[IA']$  à partir de  $I$ .
  - D'après Thalès "Rapports",  $(GGa) // (AI)$ .
  - D'après Desargues "Le théorème faible"  
 appliqué aux triangles homothétiques  $ASI$  et  $GXGa$ ,  
 $S, X$  et  $A'$  sont alignés.
- $$\frac{XG}{XO} = \frac{SA}{SA\#}.$$

- **Conclusion partielle :**



- Notons  $Ma$  la médiatrice de  $[BC]$ ,  
 $A^*, A\#$  les points d'intersection de  $Ma$  resp. avec  $Pi, Pa$ ,  
 $Ha$  la  $A$ -hauteur de  $ABC$ ,  
 $A+, U$  les points d'intersection de  $Ha$  resp. avec  $Pi, (A'I)$ ,  
 et  $R, r$  les rayons des cercles resp. circonscrit, inscrit à  $ABC$ .

- Un premier calcul segmentaire :

\* d'après Thalès "Rapports",  $Ha$  étant parallèle à  $Ma$ ,  
 $A$  est le deuxième tiers-point de  $[A+U]$  à partir de  $A+$

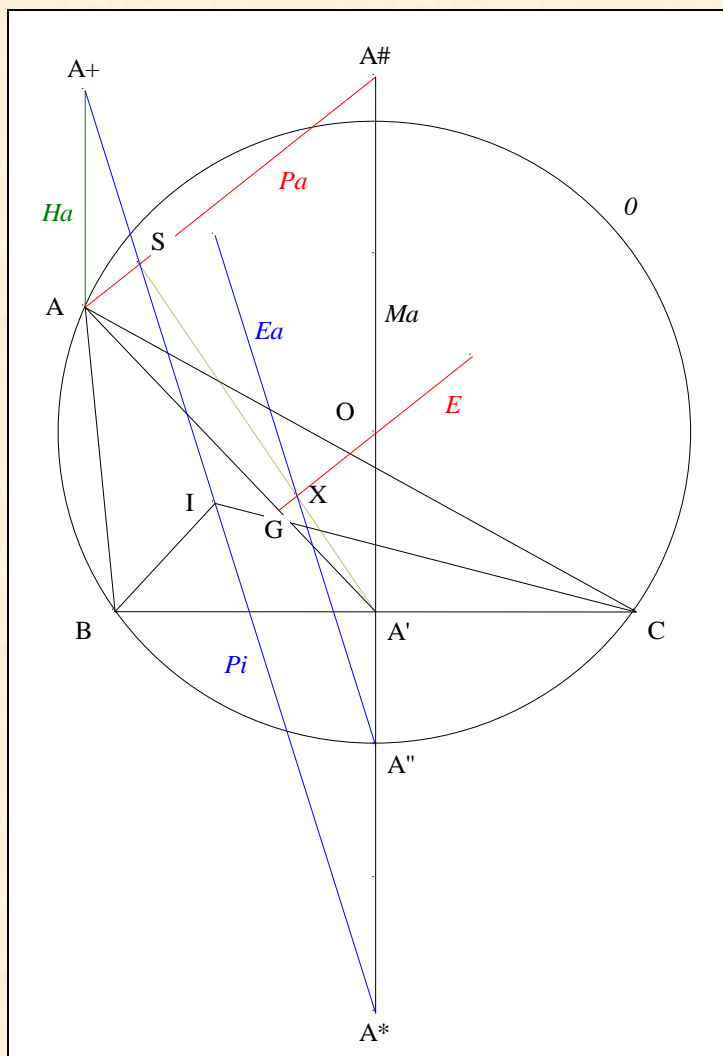
(2)  $E$  étant parallèle à  $Ea$ ,  
 $O$  est le deuxième tiers-point de  $[A\#A']$  à partir de  $A\#$

\* par recomposition,  $A^*A\# = 3.R$

• Un second calcul segmentaire :

\* d'après Thalès "Rapports", (1)  $(GaA'')$  étant parallèle à  $(IA^*)$ ,  
 $A''$  est le deuxième tiers-point de  $[A^*A']$  à partir de  $A^*$

\* d'après "Rayon du cercle inscrit" (Cf. **D. Annexe 1**),  
 en conséquence,  $AU = r$  ;  
 $AA+ = 2.r$



• Nous avons :

$$\frac{SA}{SA\#} = \frac{AA+}{A\#A^*} ;$$

$$\frac{AA+}{A\#A^*} = \frac{2r}{3R} ;$$

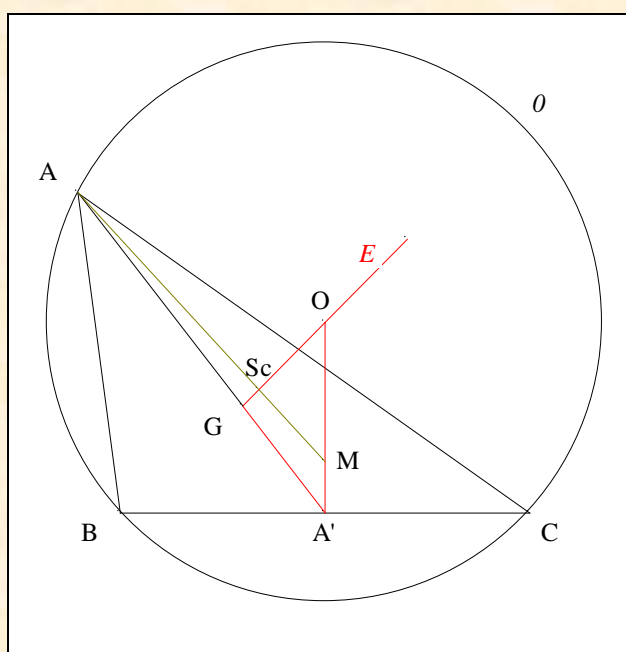
$$\frac{XG}{XO} = \frac{2r}{3R} .$$

par transitivité,

- **Conclusion partielle :**  $Ea$  passe par le point fixe  $X$ .
- Mutatis mutandis, nous montrerions que  $Eb$  passe par le point fixe  $X$   
 $Ec$  passe par le point fixe  $X$ .
- **Conclusion :**  $E, Ea, Eb$  et  $Ec$  sont concourantes en  $X$ .

**Énoncé traditionnel :** les droites d'Euler des triangles  $IBC, ICA, IAB$  et  $ABC$  sont concourantes.

- Scolies :**
- (1) ce point de concours, noté  $Sc$ , est "le point de Schiffler de  $ABC$ " et est répertorié sous  $X_{21}$  chez ETC<sup>5</sup>.
  - (2) Le premier point d'appui



- D'après A. 1. Le problème,

$$\frac{XG}{XO} = \frac{2r}{3R}.$$

- Nous savons que  $G$  est le deuxième tiers-point de  $[AA']$  à partir de  $A$ .

- **Conclusion :** d'après le théorème de Ménélaüs

appliqué au triangle  $GOA'$  et à la ménélienne  $(ScMA)$ ,

$$\frac{MA'}{MO} = \frac{r}{R}.$$

**Note historique :** ce résultat de 1985 découvert par l'ingénieur allemand Kurt Schiffler de Schorndorf (Allemagne) et proposé dans la revue canadienne *Crux Mathematicorum*, a été résolu l'année suivante à l'aide du théorème de Ménélaüs, dans la même revue, par deux hollandais, G. R. Veldkamp de Bilt et W. A. van der Spek de Leeuwarden<sup>6</sup>. L'éditeur

<sup>5</sup> Kimberling C., Triangle Centers and Central Triangles, *Congressus Numerantium*, 129 (1988) 70 ; Encyclopedia of Triangle Centers ; <http://faculty.evansville.edu/ck6/encyclopedia/ETC.html>

<sup>6</sup> Veldkamp G. R., van der Spek W. A., Problème 1018 and Solution, *Crux Mathematicorum* 12, 6 (June 1986) 150-152.

précise à la fin de la solution qu'il a été aussi résolu par l'hollandais D. J. Smeenk de Zaltbommel. Des demandes peuvent être vues sur le site *Mathlinks*.<sup>7</sup>

Rappelons que le lieu des points P pour lesquels les triangles ABC, PBC, PCA et PAB ont des droites d'Euler concourantes avait été mentionné en 1954 par Frank Morley et son fils, Frank Vigor Morley, dans leur livre *Inversive Geometry*<sup>8</sup> et qu'en 2001, Antreas P. Hatzipolakis, Floor van Lamoen, Barry Wolk, et Paul Yiu<sup>9</sup> publiaient dans la revue électronique *Forum Geometricorum* un article approfondi sur le sujet en remplaçant "droites d'Euler" par "axes de Brocard" ou par "droites (OI) joignant le centre O du cercle circonscrit au triangle au centre I de son cercle inscrit".

## 2. A propos du nom de ce point

G. R. Veldkamp et W. A. van der Spek ont suggéré dans leur solution de nommer ce point d'après l'auteur du problème.

En janvier 2000, sur le site *Hyacinthos*, Floor van Lamoen<sup>10</sup> adoptant le point de vue de l'analyse géométrique i.e. l'application de l'Analyse à la Géométrie déclare

"It is not correct to attribute this theorem to Kurt Schiffler. According to Zvonko Cerin's paper<sup>11</sup>, the Neuberg cubic was mentioned as locus curve for P such that the Euler lines of ABC, PBC, APC and ABP concur by F. Morley and F. V. Morley<sup>12</sup> already, as an exercise on page 200. This is far before Schiffler's problem appeared. Perhaps in the forthcoming ETC he will change it. But where appeared the theorem for the FIRST time? In Morley & Morley, or was it known before? When Veldkamp and van der Spek suggested the name "Schiffler point," they may not have been aware of the theorem that puts this point on a known curve. But, in their defence, did anyone call specific attention to this point before Schiffler did? "

et poursuit dans un autre message<sup>13</sup>

"I did not intend to ask withdrawing Schiffler's name from his point, but withdrawing his name from the theorem that the four Euler lines concur".

## 3. Une courte biographie de Kurt Schiffler

<sup>7</sup> Concurrence of 4 Euler lines [Schiffler point], *Mathlinks* du 28/08/2006 ; <http://www.artofproblemsolving.com/Forum/viewtopic.php?f=46&t=108577>  
Pure Geometric Proof Of Schiffler Point, *Mathlinks* du 21/07/2011 ; <http://www.artofproblemsolving.com/Forum/viewtopic.php?f=50&t=419530>  
Grinberg D., Schiffler Theorem proven synthetically??, Message *Hyacinthos* # 7024 du 22/04/2003 ; <http://tech.groups.yahoo.com/group/Hyacinthos/message/7024>

<sup>8</sup> Morley F., Morley F. V., *Inversive Geometry*, Chelsea Publ. Co., New York (1954) 200.

<sup>9</sup> Hatzipolakis A., van Lamoen F., Wolk B., Yiu P., Concurrency of Four Euler Lines, *Forum Geometricorum* vol. 1 (2001) 59-68.

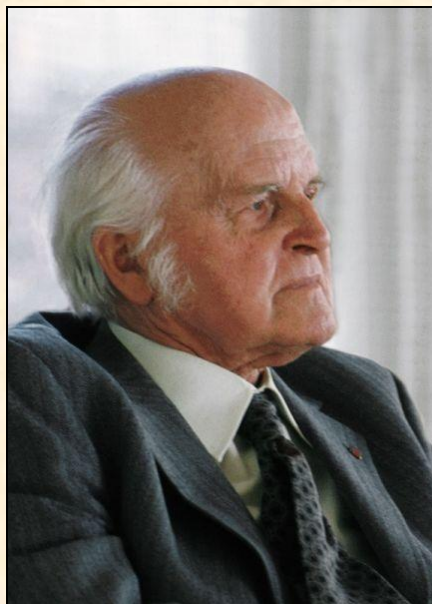
<sup>10</sup> Van Lamoen F., Locus problem, Message *Hyacinthos* # 96 du 08/01/2000 ; <http://tech.groups.yahoo.com/group/Hyacinthos/>

<sup>11</sup> Cerin Z., Locus properties of the Neuberg cubic, *Journal of Geometry* 63 (1998) 39-56.

<sup>12</sup> Morley F. and Morley F. V., *Inversive Geometry*, Chelsea Publ. Co., New York (1954).

<sup>13</sup> Van Lamoen F., Schiffler Point (was: extra's and ex's), Message *Hyacinthos* # 159 du 13/01/2000 ; <http://tech.groups.yahoo.com/group/Hyacinthos/>





Kurt Schiffler est né le 6 avril 1896 à Gotha (Thuringe, Allemagne). Après des études d'ingénieur à la Bergakademie de Freiberg (Saxe) et ensuite à l'Université technique de Stuttgart (Wurtemberg), cet homme déterminé et talentueux, fasciné par les sciences, et en symbiose avec l'art, la musique et l'éducation, fonde le 7 octobre 1925 l'entreprise DUSYMA<sup>14</sup> qui se spécialise dans la fabrication de jouets, de meubles et de matériel pédagogique pour les écoles maternelles.

Joueur de mandoline et passionné par géologie des minéraux et des cristaux, il est aussi un géomètre accompli qui aura la grâce de découvrir l'un des points les plus fascinants centres de la géométrie du triangle. Il décède le 25 février 1986.

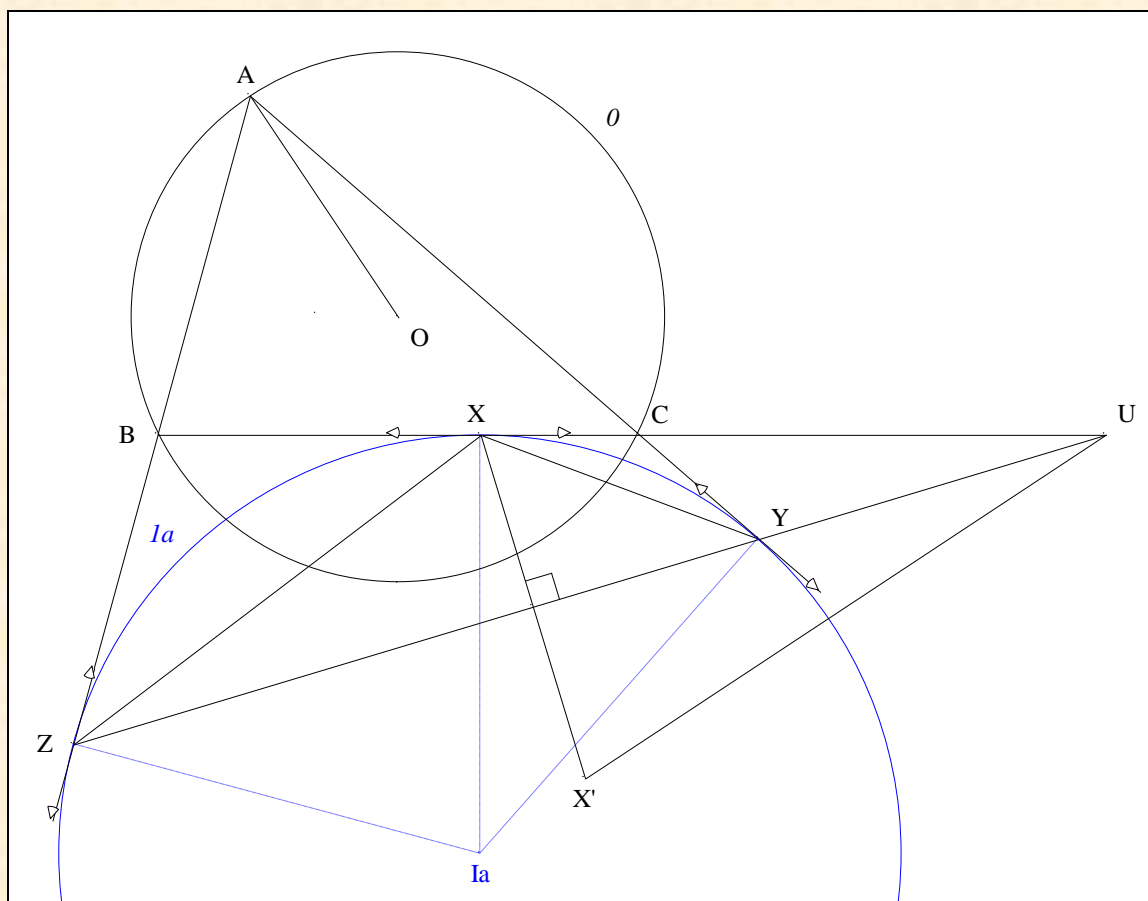
## B. LE RÉSULTAT DE LEV ET TATIANA EMEL'YANOV

### 1. Deux perpendiculaires

#### VISION

Figure :

<sup>14</sup> Dusyma sont les initiales de "Durchmesser-Symmetrie-Masstabes". Schiffler K., Problem 1018, *Crux Mathematicorum* (1985) 51.



**Traits :**

- ABC un triangle,
- $O$  le cercle circonscrit à ABC,
- $O$  le centre du cercle circonscrit à ABC,
- $Ia$  le A-excercle de ABC,
- $Ia$  le centre de  $Ia$ ,
- XYZ le triangle A-excontact de ABC,
- $X'$  le symétrique de X par rapport à (YZ)

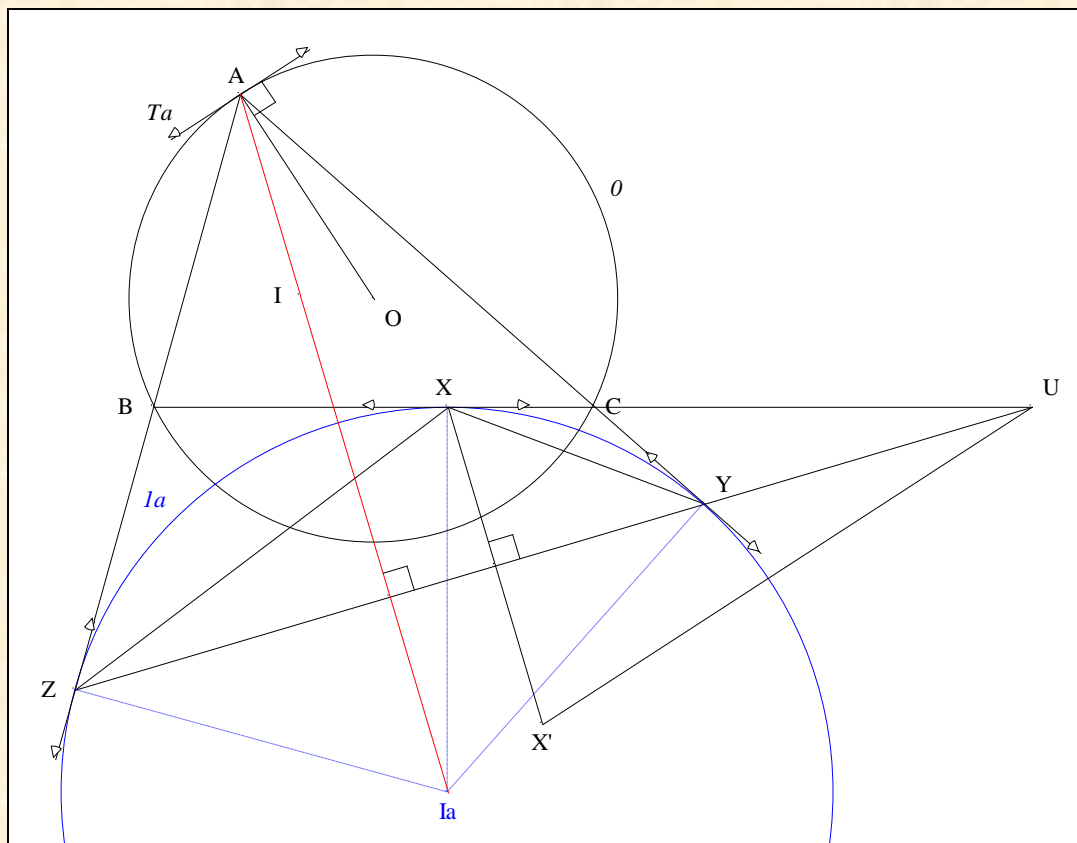
et U le point d'intersection de (YZ) et (BC).

**Donné :** (X'U) est perpendiculaire à (AO).<sup>15</sup>

### VISUALISATION

<sup>15</sup>

Ayme J.-L., A perpendicular to AO, *Mathlinks* du 26/07/2011 ;  
<http://www.artofproblemsolving.com/Forum/viewtopic.php?f=47&t=420335>



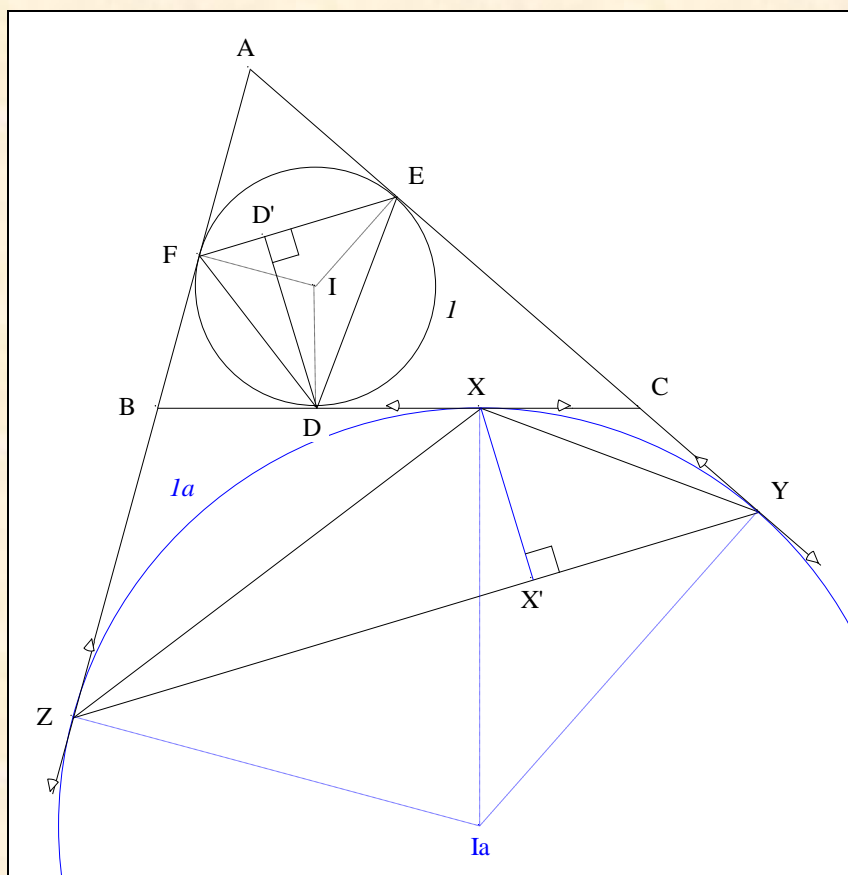
- Notons  $Ta$  la tangente à  $o$  en A  
et  $I$  le centre de ABC.
  
- Par définition,  $(AO) \perp Ta$ .
  
- D'après "Le théorème de la médiatrice",  
par hypothèse,  $(AIa) \perp (YZ)$  ;  
d'après l'axiome IVa des perpendiculaires,  $(YZ) \perp (XX')$  ;  
 $(AIa) \parallel (XX')$ .
  
- **Solie :**  $(AB)$  et  $(AC)$  admettent les mêmes bissectrices que  $(UCB)$  et  $(UX')$ .
  
- La technique de l'antiparallélisme (Cf. C. Appendice)
 

(1)	$[(BC), Ta] \parallel [(AB), (AC)]$
(2)	$[(AB), (AC)] \parallel [(UCB), (UX')]$
(3)	$[(UCB), (UX')] \parallel [(BC), (UX')]$
  
- par transitivité de la relation  $\parallel$ ,  $[(BC), Ta] \parallel [(BC), (UX')]$
  
- en conséquence,  $Ta \parallel (UX')$  ;
  
- d'après l'axiome IVa des perpendiculaires,  $(AO) \perp (UX')$ .
  
- **Conclusion :**  $(X'U)$  est perpendiculaire à  $(AO)$ .

2. Deux hauteurs égales

VISION

Figure :



**Traits :**

ABC	un triangle,
$I$	le cercle inscrit de ABC,
$I$	le centre de $I$ ,
DEF	le triangle de contact de ABC,
$D'$	le pied de la D-hauteur de DEF,
$Ia$	le A-excercle de ABC,
$Ia$	le centre de $Ia$ ,
XYZ	le triangle A-excontact de ABC,
$X'$	le pied de la X-hauteur de XYZ.

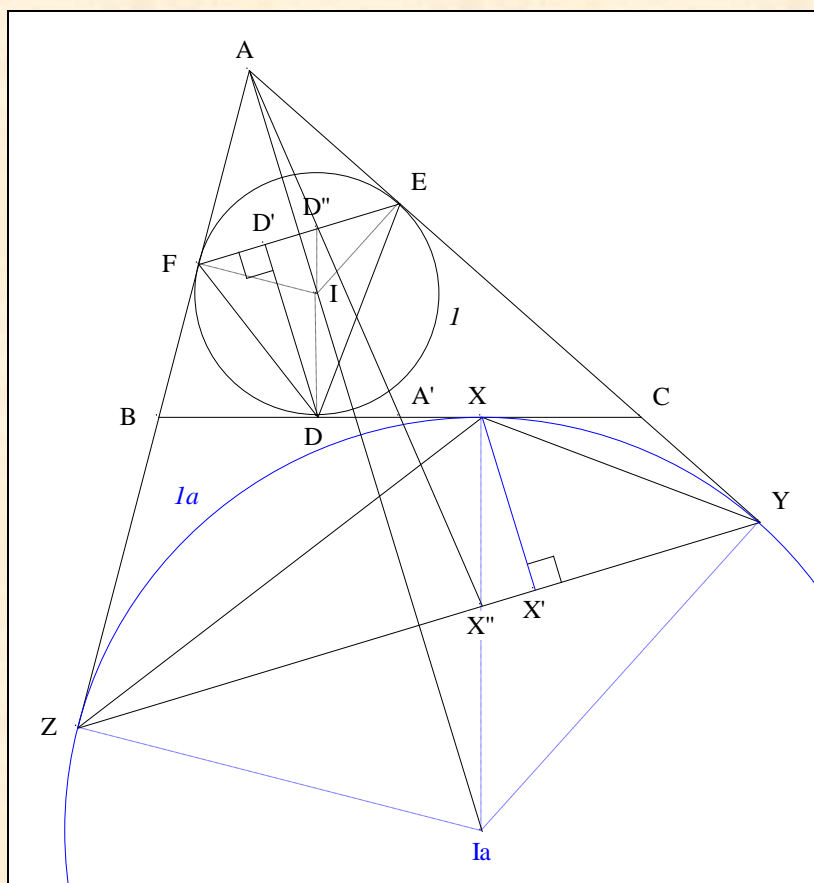
et

**Donné :**  $XX' = DD'$ .<sup>16</sup>

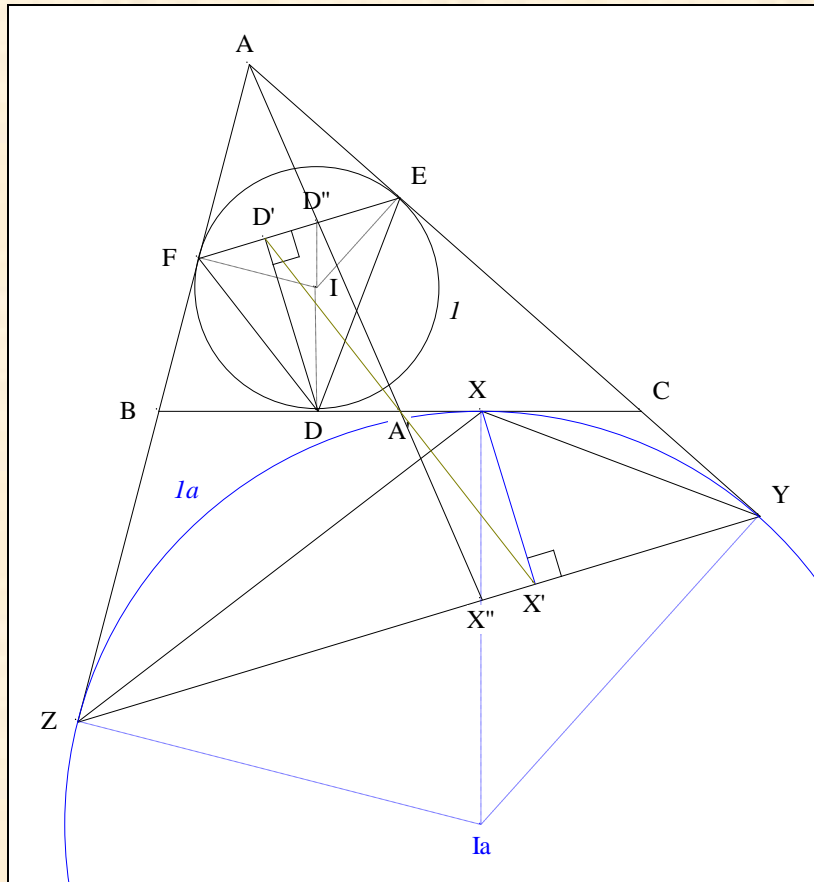
### VISUALISATION

<sup>16</sup>

Ayme J.-L., Two equal altitudes, *Mathlinks* du 24/07/2011 ;  
<http://www.artofproblemsolving.com/Forum/viewtopic.php?f=47&t=419980>



- Notons  $D''$  le point d'intersection de  $(DI)$  et  $(EF)$ ,  
et  $X''$  le point d'intersection de  $(XIa)$  et  $(YZ)$ .
- **Scolies :**
  - (1)  $A, I$  et  $Ia$  sont alignés
  - (2)  $(DID'') // (XX''Ia)$  ,  $(ED''F) // (YX''Z)$  ,  $(IE) // (IaY)$ .
- D'après Desargues "Le théorème faible"  
appliqué aux triangles homothétiques  $ID''E$  et  $IaX''Y$ , A,  $D''$  et  $X''$  sont alignés.
- D'après "Un médiane" (Cf. **D. Annexe 2**),  
d'après l'axiome d'incidence  $Ia$ , A,  $D''$  et  $A'$  sont alignés ;  
A,  $D''$ ,  $A'$  et  $X''$  sont alignés.
- **Scolie :**  $A'$  est le milieu de  $[DX]$ .
- D'après l'axiome de passage IIIa  
appliqué à la bande de frontières  $(DD'')$  et  $(XX'')$ , A' est le milieu de  $[D''X'']$ .

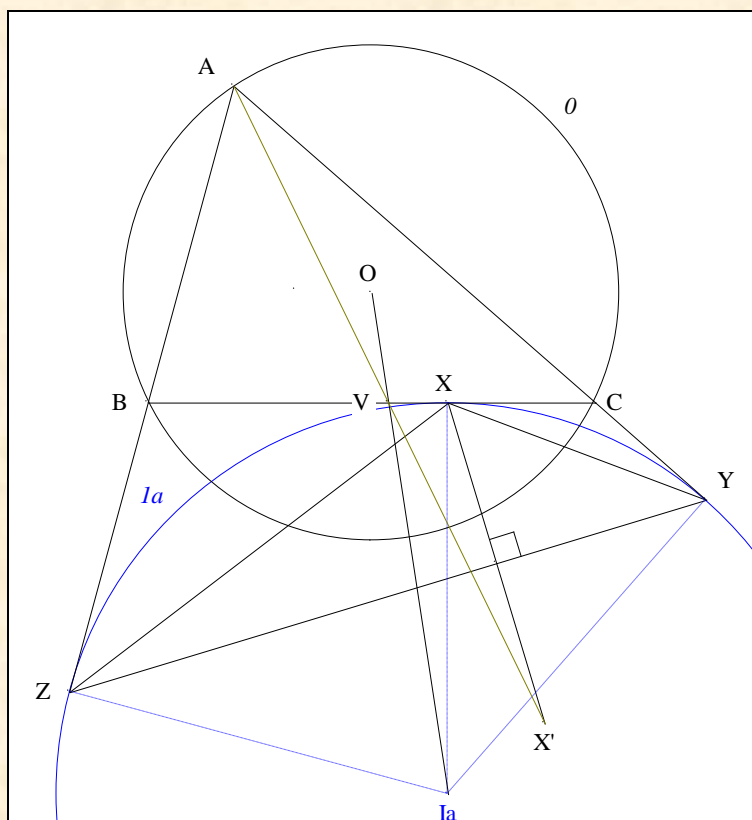


- **Scolies :** (1) A' est le milieu de [DX]  
 (2) (DD') (XX').
- D'après Desargues "Le théorème faible" appliqué aux triangles homothétiques  $XX'X''$  et  $DD'D''$ , X', A' et D' sont alignés.
- D'après l'axiome de passage IIIa appliqué à la bande de frontières  $(DD'')$  et  $(XX'')$ , A' est le milieu de  $[D'X']$ .
- Le quadrilatère  $DD'XX'$  ayant ses diagonales se coupant en leurs milieux, est un parallélogramme.
- **Conclusion :**  $XX' = DD'$ .

3. Trois points alignés

VISION

Figure :

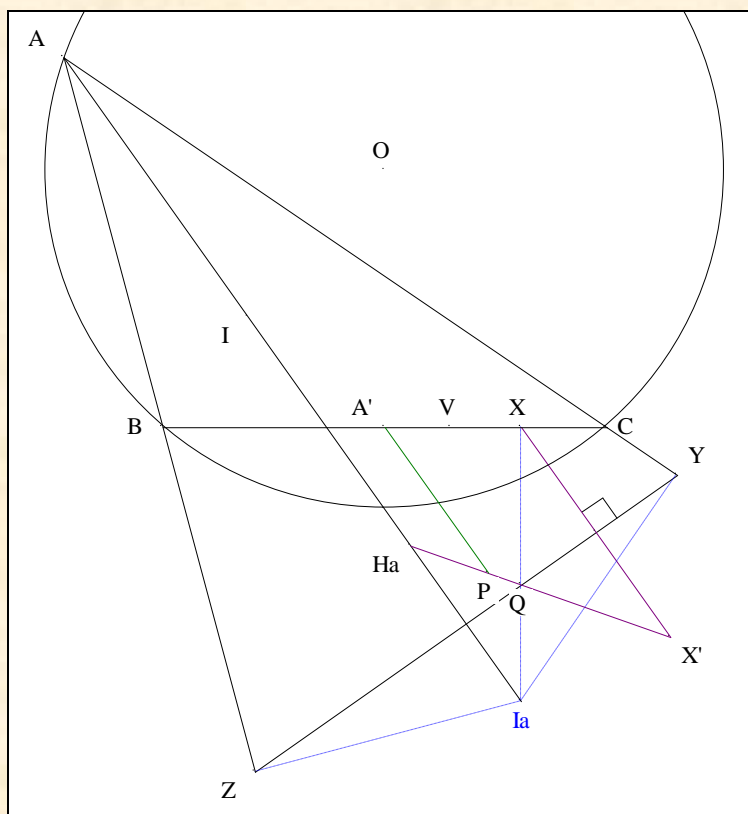


**Traits :** ABC un triangle,  
 $O$  le cercle circonscrit à ABC,  
 $O$  le centre du cercle circonscrit à ABC,  
 $Ia$  le A-excercle de ABC,  
 $Ia$  le centre de  $Ia$ ,  
 $XYZ$  le triangle A-excontact de ABC,  
 $X'$  le symétrique de X par rapport à  $(YZ)$   
 et  $V$  le point d'intersection de  $(OIa)$  et  $(BC)$ .

**Donné :** A, V et  $X'$  sont alignés. <sup>17</sup>

### VISUALISATION

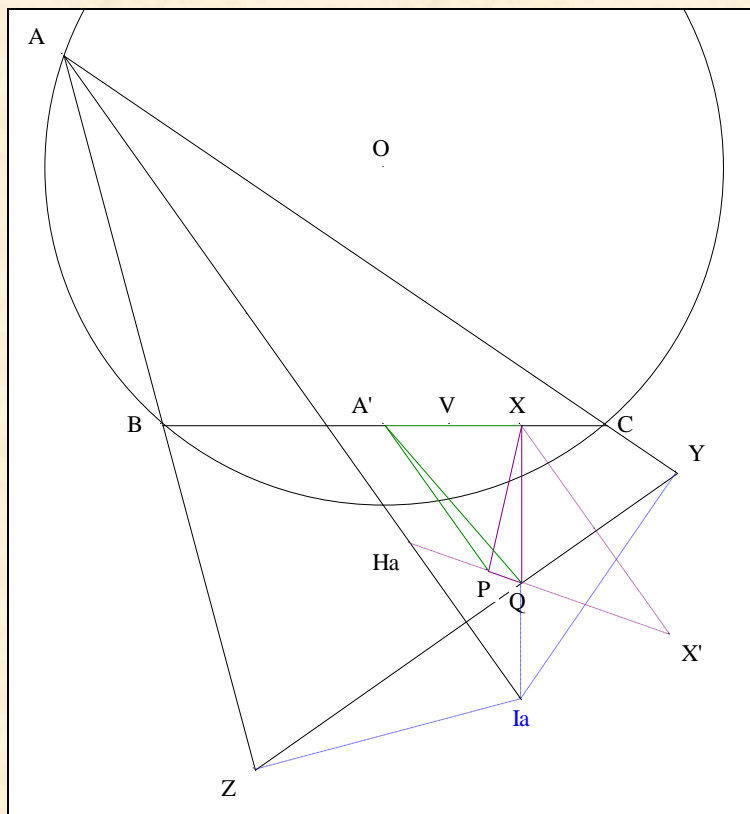
<sup>17</sup> Ayme J.-L., Three collinear points, *Mathlinks* du 26/07/2011 ;  
<http://www.artofproblemsolving.com/Forum/viewtopic.php?f=47&t=420356>



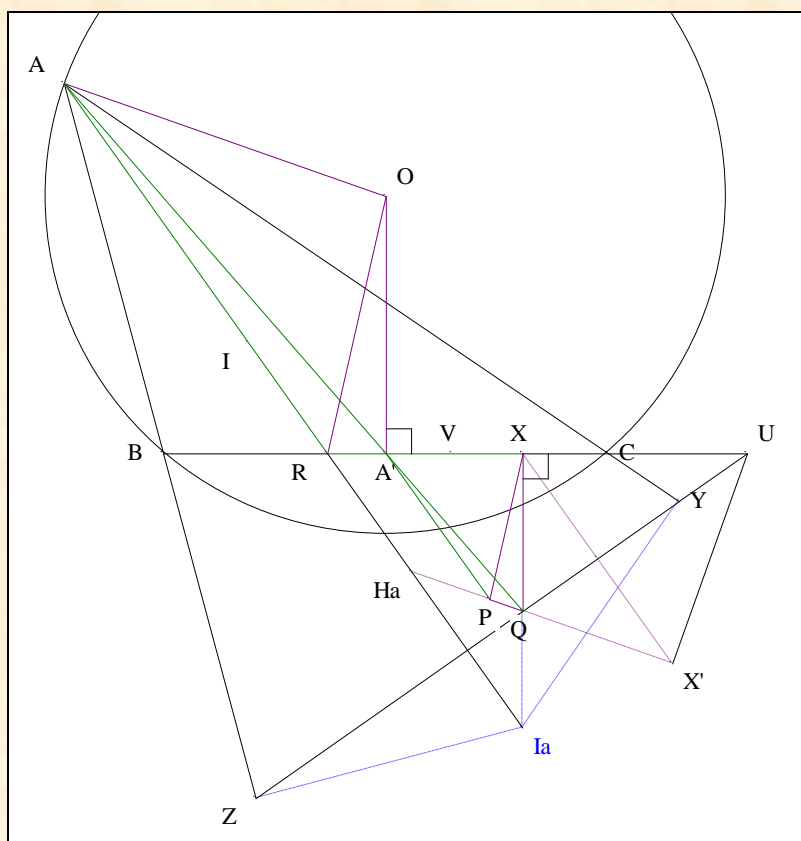
- Notons
 

Ha	l'orthocentre du triangle AYZ,
I	le centre de ABC,
A'	le milieu de [BC],
P	le point d'intersection de la parallèle à (XX') avec (X'Ha)
  - et
  - Q le point d'intersection de (X'la) et (X'Ha).
- **Scolies :**
    - (1) Ha est le symétrique de la par rapport à (YZ)
    - (2) Q est sur (YZ)
    - (3) (A'P) // (A'la).





- Considérons le triangle  $PQX$  et ses trois céviennes  $(PA')$ ,  $(QA')$ ,  $(XA')$  concourantes en  $A'$ .



- Notons  $R, U$  les points d'intersection de  $(BC)$  resp. avec  $(AIa)$ ,  $(YZ)$ .

- Par symétrie par rapport à  $(YZ)$ ,  
d'après **B. 1.** Deux perpendiculaires,  
d'après l'axiome IVa des perpendiculaires,
 

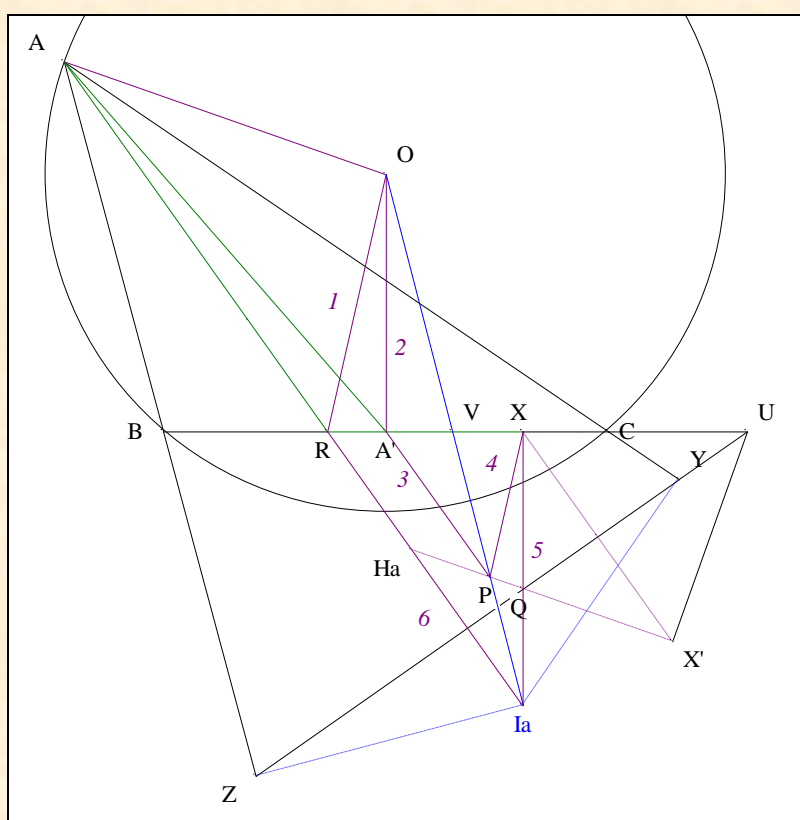
$(PQX') \perp (UX')$ ;
$(UX') \perp (AO)$ ;
$(PQ) \parallel (AO)$ .
- Considérons le triangle  $AA'R$  et ses trois céviennes  $(AO)$ ,  $(A'O)$ ,  $(RO)$  concourantes en  $O$ .
- **Scolies :**

(1)	d'après <b>B. 2.</b> Deux hauteurs égales,	$(AA') \parallel (QA')$
(2)	par hypothèse,	$(A'R) \parallel (XA')$
(3)	rappelons que	$(AR) \parallel (PA')$ .
- De plus,
 

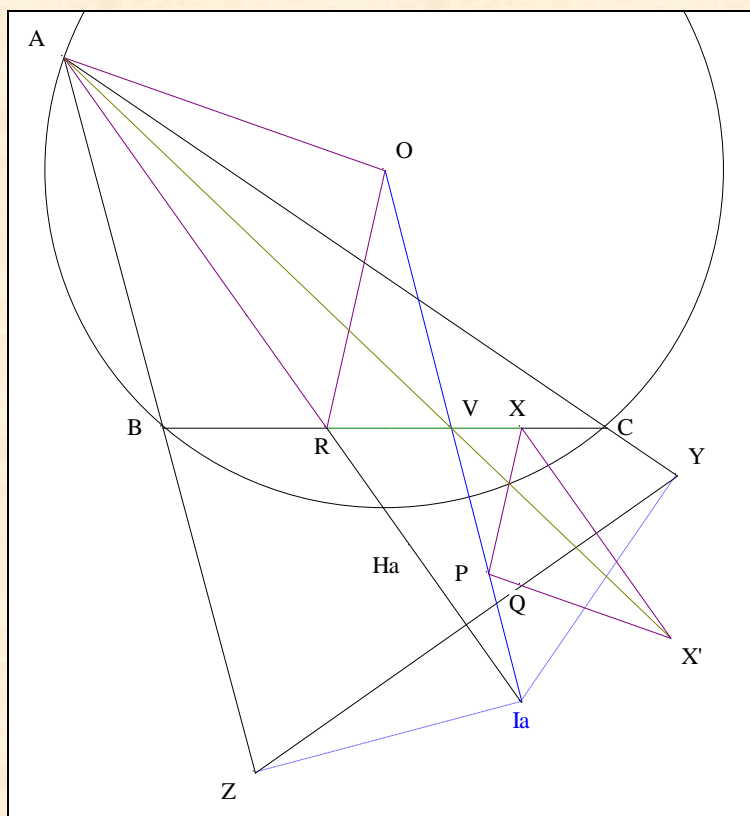
(1)	$(AO) \parallel (PQX')$
(2)	$(A'O) \parallel (QX)$ .
- **Conclusion partielle :** d'après Neuberg "Deux triangles parallélogiques" (Cf. **D. Annexe 3**)  
appliqué à
 

*	$PQX$ et ses trois céviennes $(PA')$ , $(QA')$ , $(XA')$
*	$AA'R$ et ses trois céviennes $(AO)$ , $(A'O)$ , $(RO)$ ,

 $(RO) \parallel (PX)$

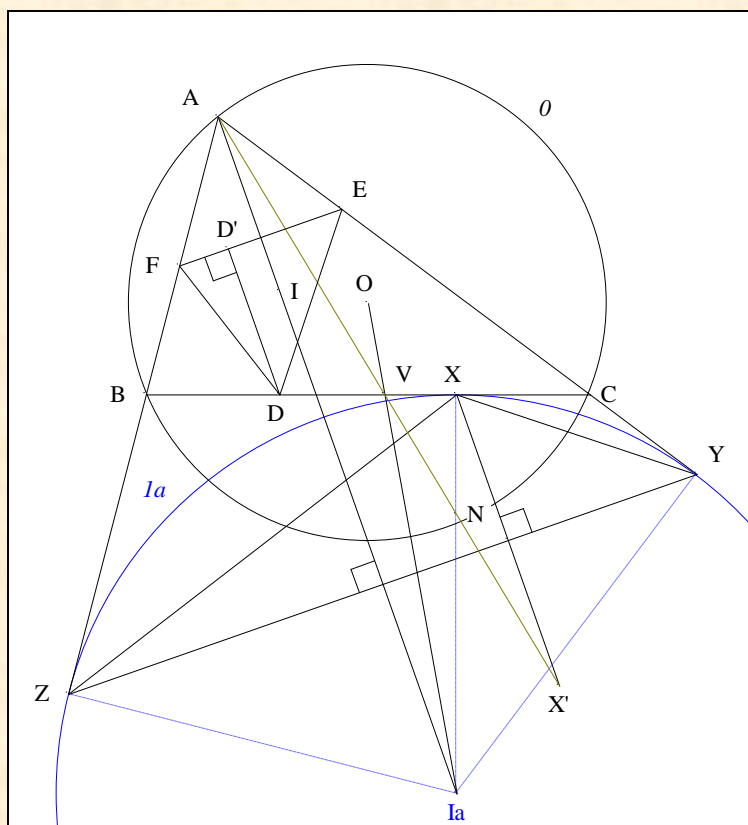


- D'après Pappus "Le petit théorème" (Cf. **Annexe 4**),  
 $O, P$  et  $Ia$  sont alignés.
- **Conclusion partielle :**  
 $O, V, P$  et  $Ia$  sont alignés



- **Conclusion :** d'après Desargues "Le théorème faible" (Cf. Annexe 5) appliqué aux triangles homothétiques AOR et X'PX, A, V et X' sont alignés.

**Solie :** le second point d'appui



- Notons  $I$  le centre de  $ABC$ ,  
 $DEF$  le triangle de contact de  $ABC$   
 et  $D'$  le pied de la  $D$ -hauteur de  $DEF$ .

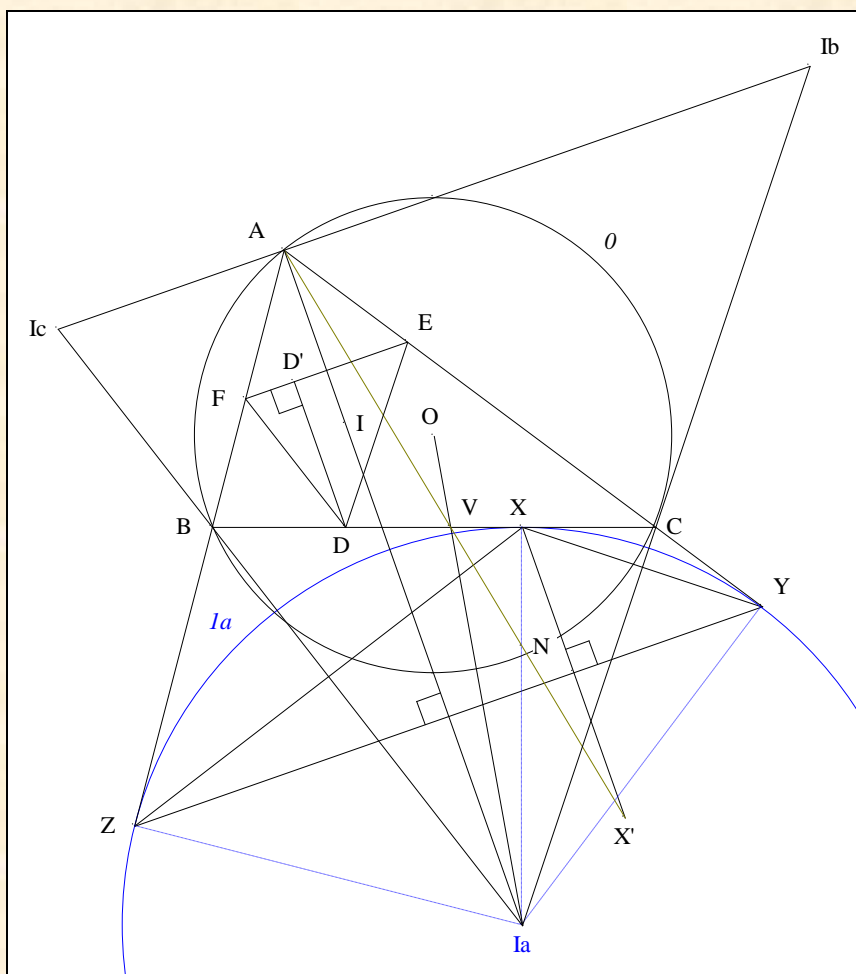
- Nous avons :

$$\frac{NX}{NIa} = \frac{XX'}{A Ia} .$$

- D'après **B. 2.** Deux hauteurs égales,  
 en conséquence,

$$XX' = 2 \cdot DD' ;$$

$$\frac{NX}{NIa} = \frac{2 \cdot DD'}{A Ia} .$$



- Notons  $IaIbIc$  le triangle excentral de ABC,  
 $I'$  le cercle circonscrit à  $IaIbIc$   
 et  $R'$  le rayon de  $I'$ .
- $I$  étant le cercle d'Euler de  $IaIbIc$ ,  $R' = 2.R$ .

- Les triangles DEF et  $IaIbIc$  étant homothétiques,

$$\frac{2 \cdot DD'}{AIa} = \frac{r}{R}.$$

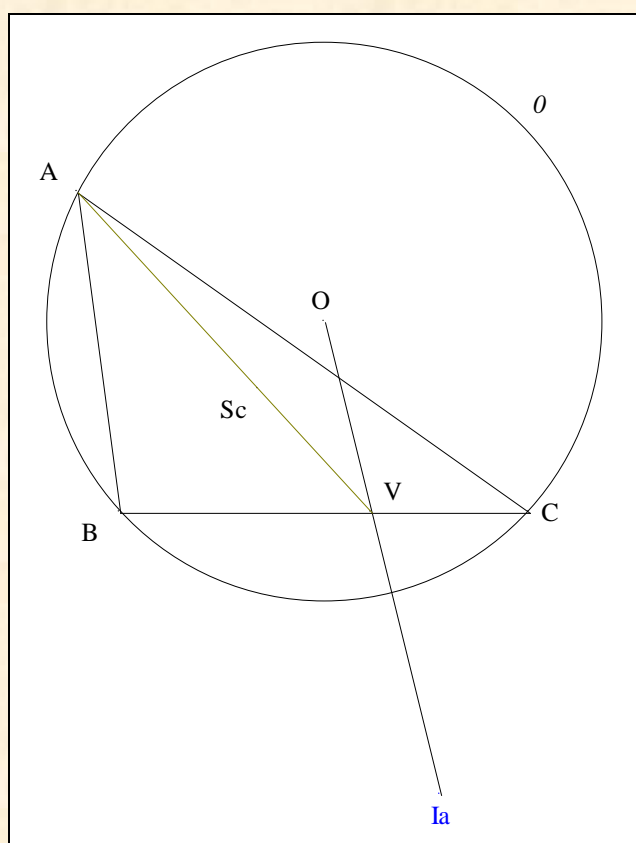
- **Conclusion :** par transitivité de la relation =,

$$\frac{NX}{NIa} = \frac{r}{R}.$$

#### 4. Les théorèmes 1 et 2 de Lev et Tatiana Emelyanov

### VISION

Figure :

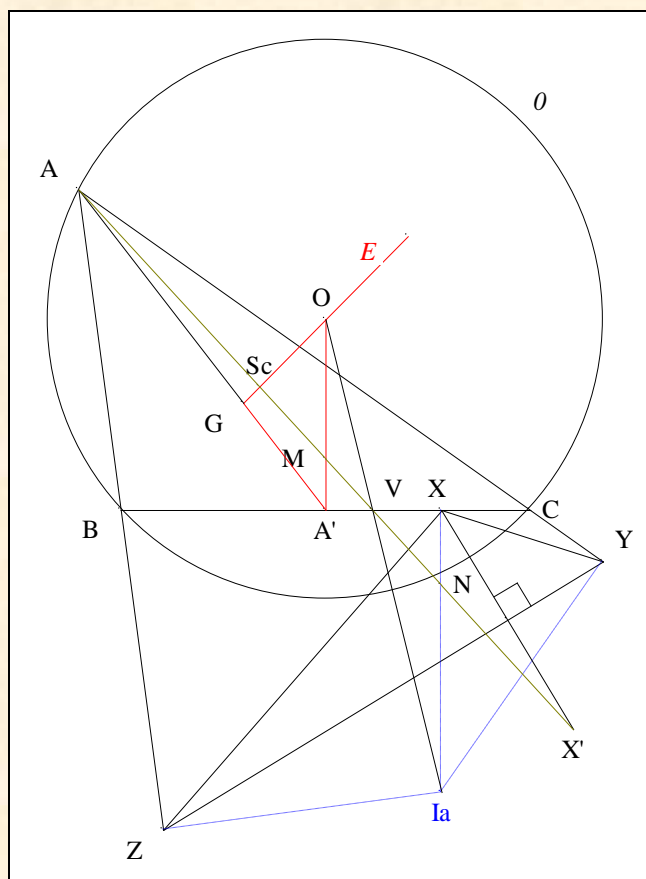


**Traits :** ABC un triangle,  
 Sc le point de Schiffler de ABC,  
 O le centre du cercle circonscrit à ABC,  
 Ia le centre du A-exercerle de ABC  
 et V le point d'intersection de (OIa) et (BC).

**Donné :** A, Sc et V sont alignés. <sup>18</sup>

### VISUALISATION

<sup>18</sup> Emelyanov L. and T., A note on the Schiffler point, *Forum Geometricorum* **3** (2003) 113-116 ; <http://forumgeom.fau.edu/>  
 Does anybody know the following properties of the Schiffler point?, message *Hyacinthos* # **6694** du  
 12/03/2003 ; <http://tech.groups.yahoo.com/group/Hyacinthos/>



- Notons  $ABC$  un triangle,
- $G$  le point médian de  $ABC$ ,
- $A'$  le milieu du côté  $[BC]$ ,
- $M$  le premier point d'appui, (Cf. **A. 1.** scolie 2)
- $XYZ$  le triangle  $A$ -excontact de  $ABC$ ,
- $X'$  le symétrique de  $X$  par rapport à  $(YZ)$ ,
- $N$  le second point d'appui (Cf. **B. 3.** scolie)
- et  $r, R$  les rayons des cercles resp. incrit, circonscrit à  $ABC$ .

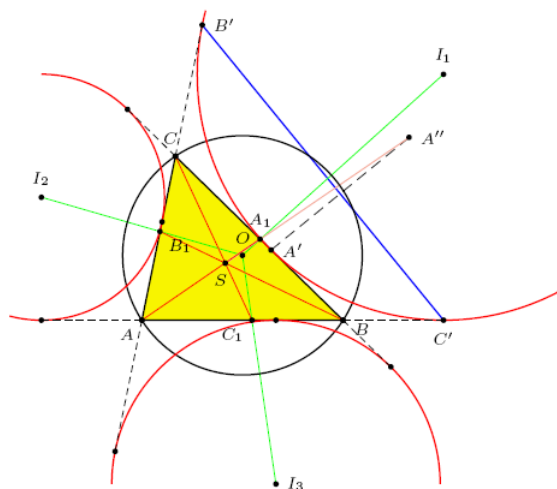
- D'après **A. 1.** scolie 2, 
$$\frac{MA'}{MO} = \frac{r}{R}.$$

- D'après **B. 3.** scolie, 
$$\frac{NX}{NIa} = \frac{r}{R}.$$

- D'après Thalès "Rapports",  $M, V$  et  $N$  sont alignés.
- **Conclusion** : d'après l'axiome d'incidence  $Ia$ ,  $A, M, V$  et  $N$  sont alignés.

**Note historique :** rappelons les deux résultats des époux Emelyanov

**Theorem 1.** Let  $O$  and  $I_1$  be the circumcenter and  $A$ -excenter of triangle  $ABC$ , and  $A_1$  the intersection of  $OI_1$  and  $BC$ . Similarly define  $B_1$  and  $C_1$ . The lines  $AA_1$ ,  $BB_1$  and  $CC_1$  concur at the Schiffler point  $S$ .



**Theorem 2.** Let  $A'$ ,  $B'$ ,  $C'$  be the touch points of the  $A$ -excircle and  $BC$ ,  $CA$ ,  $AB$  respectively, and  $A''$  the reflection of  $A'$  in  $B'C'$ . Similarly define  $B''$  and  $C''$ . The lines  $AA''$ ,  $BB''$  and  $CC''$  concur at the Schiffler point  $S$ .

Ce difficile problème est réapparu sur le site *Mathlinks*<sup>19</sup> en 2006 et 2007.

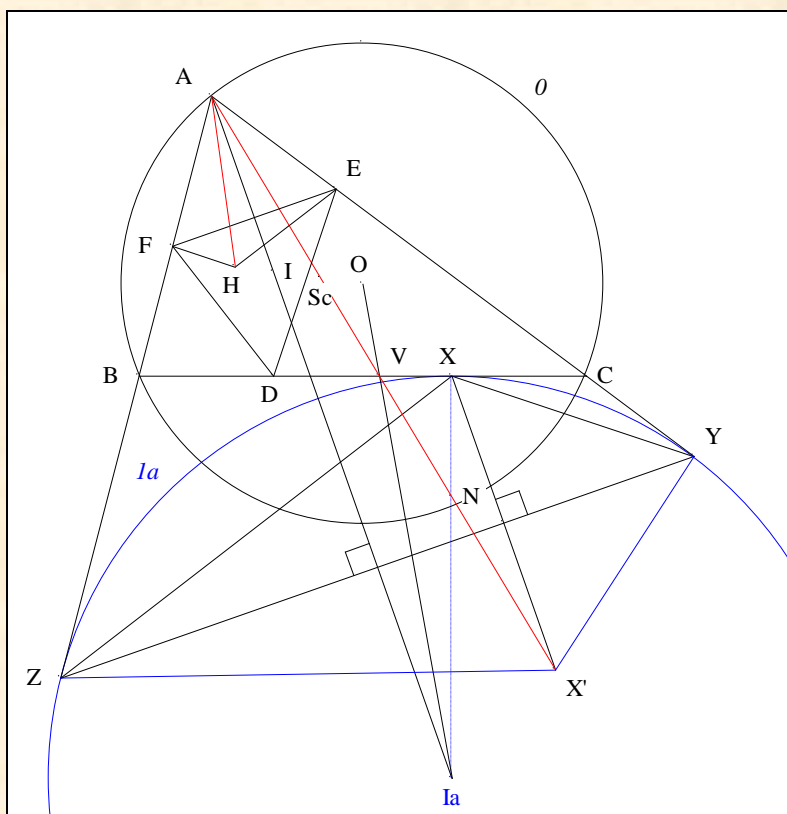
## 5. L'orthocentre du triangle de contact et le point de Kosnitza

### VISION

Figure :

<sup>19</sup> Concurrence of 4 Euler lines [Schiffler point], *Mathlinks* du 28/08/2006 ; <http://www.artofproblemsolving.com/Forum/viewtopic.php?f=46&t=108577>  
Schiffler point, *Mathlinks* du 17/09/2007 ; <http://www.artofproblemsolving.com/Forum/viewtopic.php?f=46&t=167076>





**Traits :** aux hypothèses et notations précédente, nous ajoutons  
H l'orthocentre du triangle DEF.

**Donné :** Sc est l'isogonal de H relativement à ABC.<sup>20</sup>

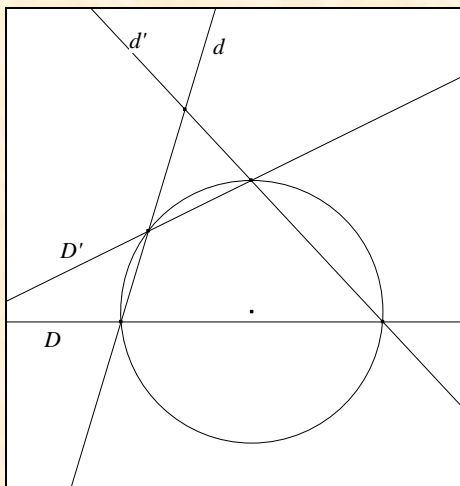
### VISUALISATION

- Les quadrilatères AEHF et AZX'Y étant semblables et  $(EF) \parallel (ZY)$ ,  
 $(AH)$  et  $(AScX')$  sont deux A-isogonales de ABC.
- Mutatis mutandis, nous montrerions que
  - (1)  $(BH)$  et  $(BSc)$  sont deux A-isogonales de ABC
  - (2)  $(CH)$  et  $(CSc)$  sont deux A-isogonales de ABC.
- **Conclusion :** Sc est l'isogonal de H relativement à ABC.

<sup>20</sup> Concurrence of 4 Euler lines [Schiffler point], AoPS du 29/08/2006  
<http://artofproblemsolving.com/community/c6h108577>

## C. APPENDICE

### 1. Droites antiparallèles



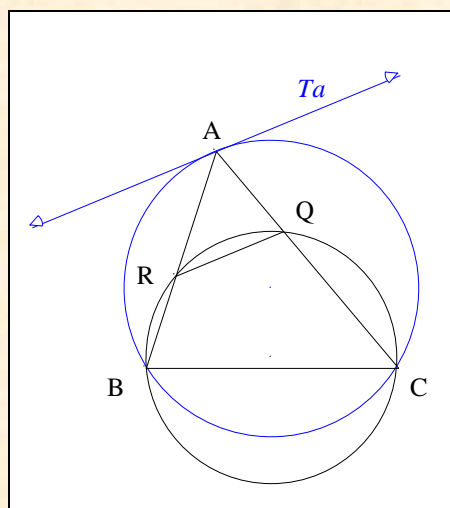
Deux sécantes  $D$  et  $D'$  sont antiparallèles aux **sécantes**  $d$  et  $d'$ , si, les bissectrices de  $D$  et  $D'$  sont parallèles aux bissectrices de  $d$  et  $d'$ .

### 2. La relation "est antiparallèle à"

la relation "est antiparallèle à", notée  $\parallel$ , est d'équivalence sur l'ensemble des paires de droites **sécantes** du plan.

### 3. Conséquences

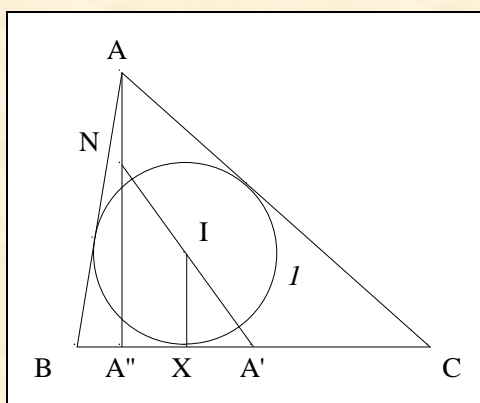
- (1) nous pouvons remplacer dans la définition, une droite par une autre qui lui est parallèle.
- (2) Les diagonales d'un quadrilatère inscritible sont antiparallèles par rapport à ses côtés opposés et réciproquement.
- (3) Si, deux droites sécantes  $D$  et  $D'$  sont antiparallèles aux droites sécantes  $d$  et  $d'$  alors, les angles de droites  $(D, d)$  et  $(D', d')$  sont alors égaux ; et le quadrilatère obtenu par intersection est inscritible.
- (4) Tout cercle sécant à deux droites sécantes détermine des droites antiparallèles aux deux premières.
- (5) Un cas particulier



- Notons  $ABC$  un triangle,  
 $O$  le cercle circonscrit à  $ABC$ ,  
 $Ta$  la tangente à  $O$  en  $A$ .  
 et  $I$  un cercle passant par  $B$  et  $C$ ,  
 $Q, R$  les seconds points d'intersection de  $(BC), (CA)$  avec  $I$ .
- Les cercles  $O$  et  $I$ , les points de base  $B$  et  $C$ , les médiannes  $(ABR)$  et  $(ACQ)$ , conduisent au théorème 1 de Reim ; il s'en suit que  $Ta \parallel (QR)$ .
- **Conclusion :**  $Ta$  et  $(BC)$  sont antiparallèles à  $(AB)$  et  $(AC)$ .

## D. ANNEXE

### 1. Rayon du cercle inscrit



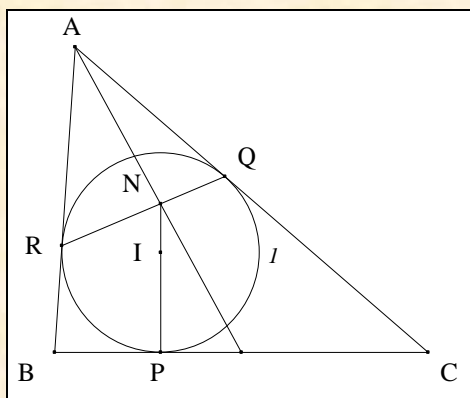
- Traits :**
- $ABC$  un triangle,
  - $I$  le cercle inscrit dans  $ABC$ ,
  - $I$  le centre de  $I$ ,
  - $X$  le point de contact de  $I$  avec  $(BC)$ ,
  - $A'$  le milieu de  $[BC]$ ,
  - $A''$  le pied de la  $A$ -hauteur de  $ABC$
- et  $N$  le point d'intersection de  $(AI)$  avec  $(AA'')$ .

**Donné :**  $AN = IX$ .

## 2. Une médiane <sup>21</sup>

### VISION

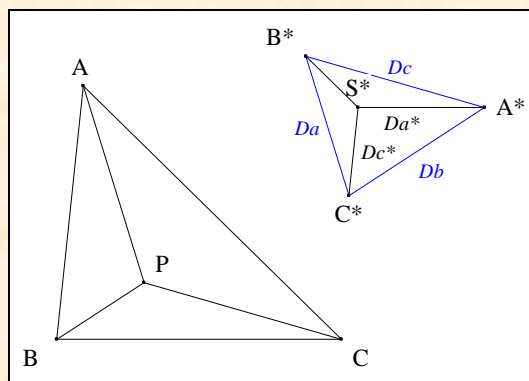
Figure :



**Traits :** ABC un triangle,  
 $I$  le cercle inscrit dans ABC,  
 $I$  le centre de  $I$ ,  
 P, Q, R les points de contact de  $I$  resp. avec (BC), (CA), (AB)  
 et N le point d'intersection de (QR) et (PI)

**Donné :** (AN) est la A-médiane de ABC.

## 3. Deux triangles parallélogiques <sup>22</sup>



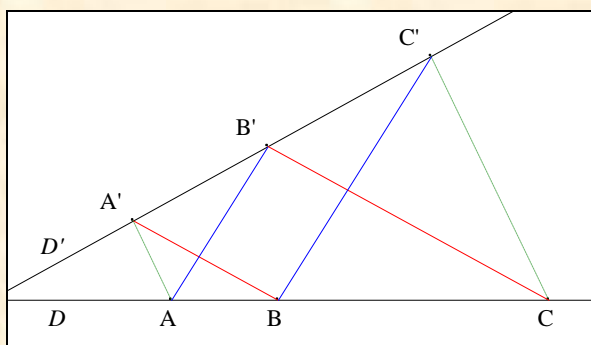
**Traits :** ABC un triangle,  
 P un point,  
 $Dc$  une parallèle à (PC),  
 $Da$  une parallèle à (PA),  
 $Db$  une parallèle à (PB),  
 $C^*$ ,  $A^*$ ,  $B^*$  les points d'intersection de  $Da$  et  $Db$ , de  $Db$  et  $Dc$ , de  $Dc$  et  $Da$ ,  
 $Dc^*$  la parallèle à (AB) passant par  $C^*$ ,  
 $Da^*$  la parallèle à (BC) passant par  $A^*$   
 et  $S^*$  le point d'intersection de  $Dc^*$  et  $Da^*$ .

<sup>21</sup> Papelier G., Pôles et Polaires dans le cercle, *Exercices de Géométrie Moderne*, Paris (1927), Gabay Reprint (1996), n° 39, p. 26.

<sup>22</sup> Neuberger J., *Mathesis* (1882) 144, question 150 ; *Mathesis* (1883) 86.

**Donné :**  $(B'S')$  et  $(AC)$  sont parallèles.

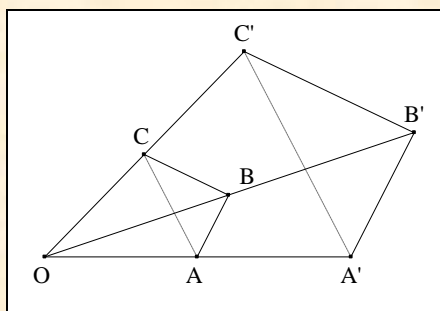
#### 4. Le petit théorème de Pappus <sup>23</sup>



**Traits :**  $D, D'$  deux droites,  
 $A, B, C$  trois points pris dans cet ordre sur  $D$ ,  
 $B'$  un point  
 et  $A', C'$  deux points de  $D'$  tels que  $(AB') \parallel (BC')$  et  $(A'B) \parallel (B'C)$ .

**Donné :**  $B'$  est sur  $D'$  si, et seulement si,  $(AA')$  et  $(CC')$  sont parallèles.

#### 5. Le théorème faible de Desargues



**Traits :**  $ABC$  un triangle,  
 et  $A'B'C'$  un triangle tel que  
 (1)  $(AA')$  et  $(BB')$  soient concourantes en  $O$   
 (2)  $(AB)$  soit parallèle à  $(A'B')$   
 (3)  $(BC)$  soit parallèle à  $(B'C')$

**Donné :**  $(CC')$  passe par  $O$  si, et seulement si,  $(AC)$  est parallèle à  $(A'C')$ .

<sup>23</sup>

Pappus, Collections Livre VII.

## E. ARCHIVE

## 1. Le problème de Kurt Schiffler

CRUX MATHEMATICORUM


Vol. 11, No. 2

February 1985

ISSN 0705 - 0348

1018. *Proposed by Kurt Schiffler, Schorndorf, Federal Republic of Germany.*  
 Let  $ABC$  be a triangle with incentre  $I$ . Prove that the Euler lines of triangles  $IBC$ ,  $ICA$ ,  $IAB$ , and  $ABC$  are all concurrent.

## 2. La solution de G. R. Veldkamp et de W. A. van der Spek



CRUX MATHEMATICORUM

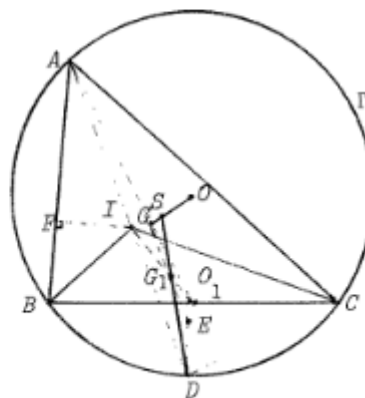
Vol. 12, No. 6  
June 1986

1018. [1985: 51] *Proposed by Kurt Schiffler, Schorndorf, Federal Republic of Germany.*

Let  $ABC$  be a triangle with incentre  $I$ . Prove that the Euler lines of triangles  $IBC$ ,  $ICA$ ,  $IAB$ , and  $ABC$  are all concurrent.

*Solution by G.R. Veldkamp, de Bilt, The Netherlands, and W.A. van der Spek, Leeuwarden, The Netherlands.*

Let  $\Gamma$  be the circumcircle of  $\triangle ABC$ , with center  $O$  and radius  $R$ , and let  $r$  be the radius of the incircle of  $\triangle ABC$ . Let  $G$  be the median point, so that  $GO$  is the Euler line of  $\triangle ABC$ . Let  $D$  be the intersection of  $AI$  with  $\Gamma$ , that is, the midpoint of arc  $BC$ . Then it is well-known (e.g. Theorem 292, page 185 of R.A. Johnson's *Advanced Euclidean Geometry*) that  $D$  is the center of a circle passing through  $B$ ,  $I$ , and  $C$ . This means that  $D$  is the circumcenter of



- 151 -

$\triangle BIC$ , so that

$$CD = ID. \quad (1)$$

Let  $G_1$  be the median point of  $\triangle BIC$ , so that  $DG_1$  is the Euler line of this triangle.

Let  $O_1$  be the midpoint of  $BC$ . Then since  $G$  and  $G_1$  are median points,

$$\frac{\overline{AG}}{\overline{GO_1}} = \frac{\overline{IG_1}}{\overline{G_1O_1}} = 2.$$

Thus  $GG_1 \parallel AID$ , and hence, letting  $E$  be the intersection of  $GG_1$  and  $OD$ ,

$$\frac{\overline{OG_1}}{\overline{G_1E}} = \frac{\overline{AI}}{\overline{ID}} \quad (2)$$

and

$$\overline{DE} = \frac{2}{3} \overline{DO_1}. \quad (3)$$

It also follows that the Euler line  $DG_1$  of  $\triangle BIC$  will intersect the Euler line  $GO$  of  $\triangle ABC$  between  $G$  and  $O$ . We let  $S$  be the point of intersection.

Let  $F$  be the foot of the perpendicular from  $I$  to  $AB$ . Since  $\angle BAD = \angle BCD$ ,  $\triangle AFI \sim \triangle CO_1D$ , and hence

$$\frac{\overline{IA}}{\overline{CD}} = \frac{\overline{FI}}{\overline{O_1D}} = \frac{r}{\overline{O_1D}}. \quad (4)$$

Applying the theorem of Menelaus to the triangle  $GOE$  with the transversal  $SG_1D$ , we have

$$\begin{aligned} 1 &= \frac{\overline{GS}}{\overline{OS}} \cdot \frac{\overline{OD}}{\overline{ED}} \cdot \frac{\overline{EG_1}}{\overline{OG_1}} \\ &= \frac{\overline{GS}}{\overline{OS}} \cdot \frac{\overline{OD}}{\overline{ED}} \cdot \frac{\overline{ID}}{\overline{AI}} && \text{by (2)} \\ &= \frac{\overline{GS}}{\overline{OS}} \cdot \frac{\overline{OD}}{\overline{ED}} \cdot \frac{\overline{CD}}{\overline{AI}} && \text{by (1)} \\ &= \frac{\overline{GS}}{\overline{OS}} \cdot \frac{R}{\frac{2}{3} \overline{DO_1}} \cdot \frac{\overline{CD}}{\overline{AI}} && \text{by (3)} \\ &= \frac{\overline{GS}}{\overline{OS}} \cdot \frac{3R}{2\overline{DO_1}} \cdot \frac{\overline{DO_1}}{r} && \text{by (4)} \\ &= \frac{\overline{GS}}{\overline{OS}} \cdot \frac{3R}{2r}, \end{aligned}$$

that is,

$$\frac{\overline{GS}}{\overline{OS}} = \frac{2r}{3R}.$$

Now if we consider the Euler lines of  $\triangle AIB$  or  $\triangle CIA$  rather than  $\triangle BIC$ , we will



- 152 -

arrive at the same ratio; thus the Euler lines of  $\triangle AIB$ ,  $\triangle CIA$ , and  $\triangle BIC$  all intersect the Euler line of  $\triangle ABC$  in the same point  $S$  (we call this point the *Schiffler point* of  $\triangle ABC$ ).

*Also solved by D.J. SMEENK, Zaltbommel, The Netherlands.*

\*

\*

\*